

**Физические основы разработки  
и функционирования элементов силовой  
и сенсорной электроники  
на основе оксида галлия**

Алексей Викторович Алмаев



Национальный  
исследовательский

**Томский  
государственный  
университет**

$\text{Ga}_2\text{O}_3$ :  $\alpha$ ,  $\beta$ ,  $\gamma$ ,  $\delta$  и  $\kappa(\epsilon)$

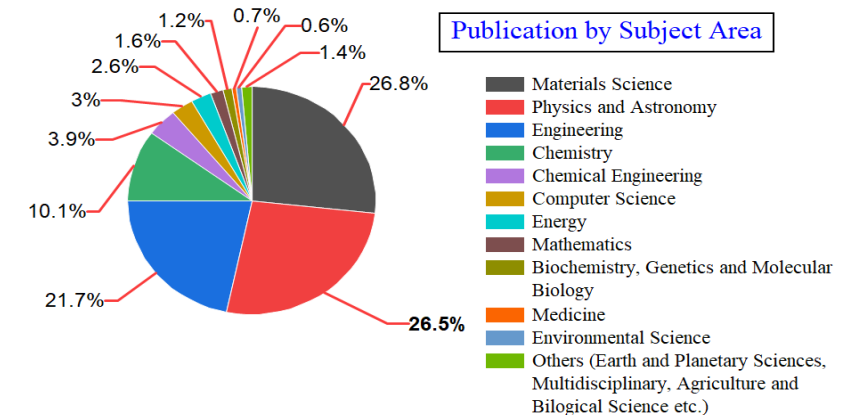
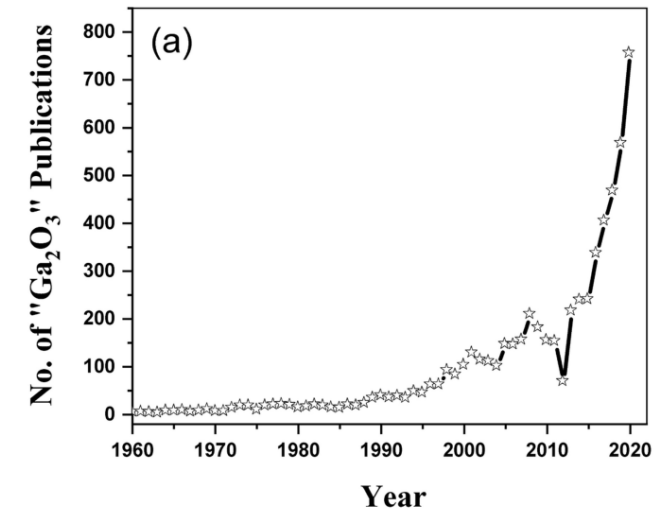
$E_g = 4.5 - 5.3 \text{ eV}$

$\beta$ - $\text{Ga}_2\text{O}_3$  – высокая термическая и химическая стабильности; моноклинная кристаллическая решетка; кристаллы полупроводникового качества.

$\alpha$ - $\text{Ga}_2\text{O}_3$  – метастабильная фаза (550 °C,  $\alpha \rightarrow \beta$ ); корундообразная решетка  $\rightarrow$  качественные анизотипные гетеропереходы с металлооксидными полупроводниками p-типа ( $\text{Cr}_2\text{O}_3$ ,  $\text{Ir}_2\text{O}_3$ ,  $\text{Fe}_2\text{O}_3$ )

$\kappa(\epsilon)$ - $\text{Ga}_2\text{O}_3$  – метастабильная фаза (700 - 1000 °C,  $\kappa(\epsilon) \rightarrow \beta$ ); псевдогексагональная решетка, высокая симметрия; сегнетоэлектрические свойства  $\rightarrow$  2DEG и HEMT; high k.

- MOSFET и SBD для силовой электроники (13.5 kV)
- UVC солнечно – слепые детекторы
- Газовые сенсоры
- TCO

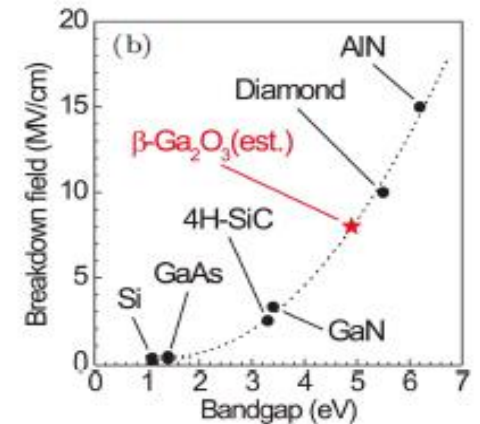
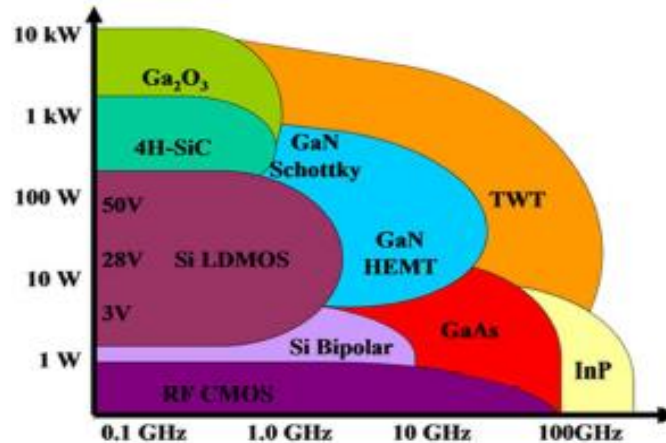


Рост исследовательской активности

## Сравнение свойств $\beta$ -Ga<sub>2</sub>O<sub>3</sub> и других широкозонных полупроводников

Параметр	SiC	GaN	Al <sub>0.7</sub> Ga <sub>0.3</sub> N	$\beta$ -Ga <sub>2</sub> O <sub>3</sub>	Алмаз
$E_g$ , эВ	3.3	3.4	5.8	4.9	5.5
$\epsilon_c$ , МВ/см	2.6	3.3	12.7	8	10
$\mu_n$ , см <sup>2</sup> /(В×с)	1000	1200	310	250	2000
$\mu_p$ , см <sup>2</sup> /(В×с)	90-120	120	30	n/a	450
$\lambda$ , Вт/(м×К)	370	130	320	10-30	2000
$\epsilon$	9.7	9	8.9	10	5.5
Размер подложки, "	8	2, 8 – г/п	2, 3-4 г/п	2-6	1.5
Легирование	n/p	Высокие $\Delta E_a$	Высокие $\Delta E_a$	n до $10^{21}$ см <sup>-3</sup> , p - нет	Высокие $\Delta E_d$ и $\Delta E_a$
BFOM, $\epsilon \mu E_g^3, V_{br}^2/R_{on}$	340	870	11773	3214	24660
JFOM, $\epsilon_c v_s/(2\pi)$	278	1089	~2900	2844	1110
KFOM, $\lambda [c v_s / (4\pi \epsilon)]^{0.5}$	3.6	1.8		0.2	41.5

Стоимость коммерческой 2" пластины  $\beta$ -Ga<sub>2</sub>O<sub>3</sub> (Tamura corp. – Япония, Dihedral (Shanghai) Science and Technology Co., Ltd - КНР) до 1 млн. рублей.



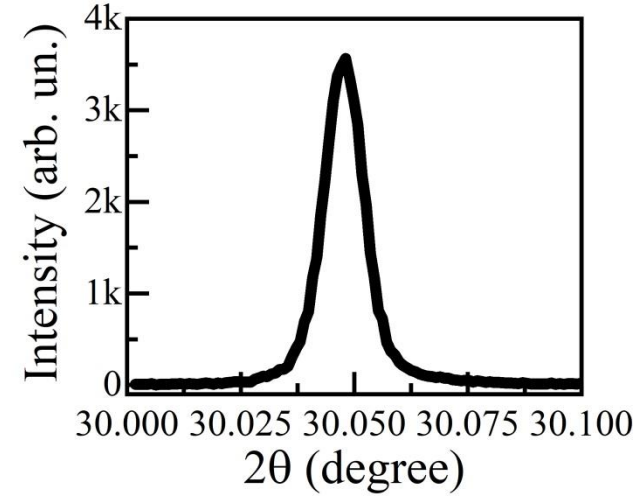
# Диод Шоттки на основе Pt/(100) $\beta$ -Ga<sub>2</sub>O<sub>3</sub>



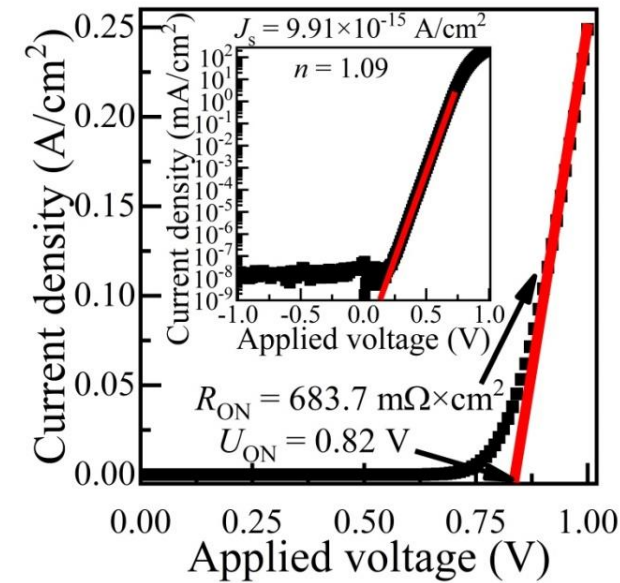
1 cm



Рост  $\beta$ -Ga<sub>2</sub>O<sub>3</sub> из расплава, T ~ 1800 °C, 2% O<sub>2</sub> + 98% Ar



РДА (100)  $\beta$ -Ga<sub>2</sub>O<sub>3</sub>,  
выращенного методом  
Чохральского



ВАХ диода  
Pt/ $\beta$ -Ga<sub>2</sub>O<sub>3</sub>

## Сравнение электропроводящих характеристик диодов на основе $\beta$ -Ga<sub>2</sub>O<sub>3</sub>

Anode	R <sub>on</sub> (mOhm × cm <sup>2</sup> )	n	Φ <sub>b</sub> (eV)	U <sub>on</sub> (V)	Rectification ratio	J <sub>s</sub> (A/cm <sup>2</sup> )	Refs.
Au/Pt	1.83	1.05	1.24	0.9	10 <sup>9</sup>	5 × 10 <sup>-15</sup>	C. Xie, et al. J.Mater.Sci.Technol. 72, 189 (2021)
Ti/SnO <sub>x</sub>	60	1.02	1.19	–	> 10 <sup>10</sup>	–	L. Du, et al. IEEE Electr.DeviceLett. 40, 451 (2019)
Au/Ni	190 Ohm × mm	–	–	0.85–0.9	10 <sup>7</sup> – 10 <sup>8</sup>	–	Z. Hu, et al. IEEE J.Electr.DevicesSoc. 6, 815 (2018)
Au/Ti/Pt	7.85	1.06	1.52	–	–	6 × 10 <sup>-19</sup>	K. Sasaki, et al. IEEE Electr.DeviceL. 34, 493 (2013)
Au/W	10.5	1.02	1.07	–	> 10 <sup>6</sup>	–	M. Xian, et al. J.Vac.Sci.Technol.B 37, 061201 (2019)
Au/Ni	6	1.08	1.1	–	–	–	J. Yang, et al. Appl.Phys.Lett. 110, 192101 (2017)
Ti/Pt	5.1	1.03	1.46	–	–	–	K. Konishi, et al. Appl.Phys.Lett. 110, 103506 (2017)
Au/Ti/Pt	4	1.02	–	1	< 10 <sup>10</sup>	–	X. Lu, et al. Phys.StatusSolidiA. 217, 1900497 (2020)
Pt	12.5	1.1	1.38	1.07	–	2 × 10 <sup>-16</sup>	Q. He, et al. Appl.Phys.Lett. 110, 093503 (2017)
Pt	<b>683.7</b>	<b>1.09</b>	<b>1.69</b>	<b>0.82</b>	<b>10<sup>10</sup></b>	<b>9.91 × 10<sup>-15</sup></b>	<b>This work</b>

R<sub>on</sub> - сопротивление в открытом состоянии;

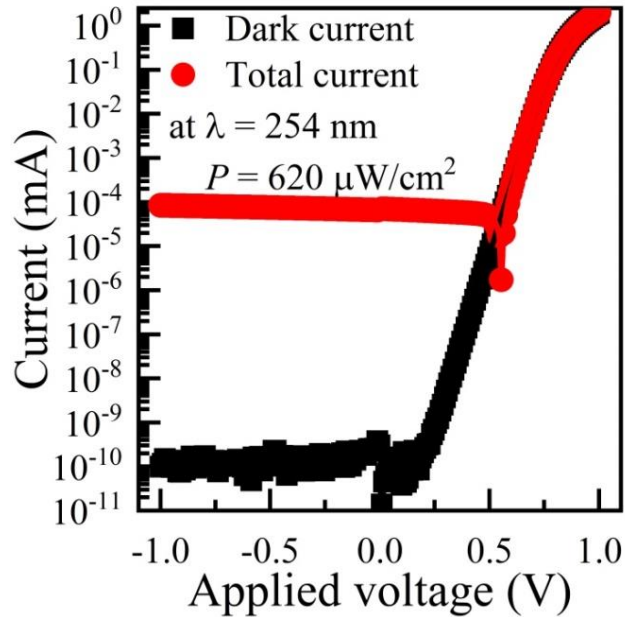
n - коэффициент идеальности;

Φ<sub>b</sub> - высоты барьера Шоттки;

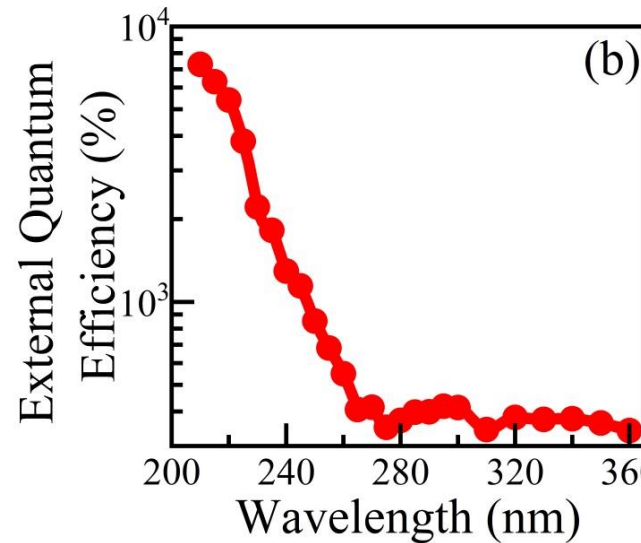
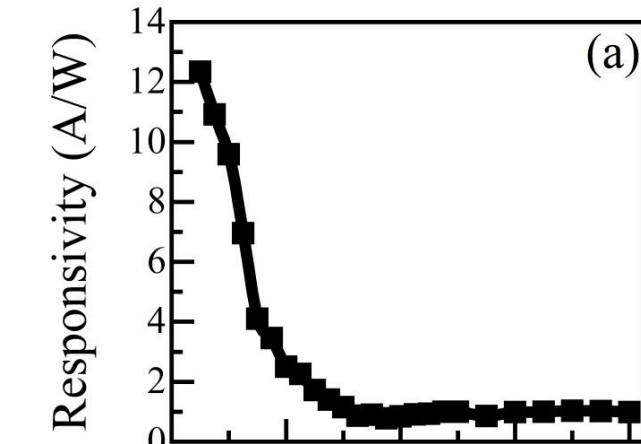
U<sub>on</sub> - напряжение включения;

J<sub>s</sub> - ток насыщения.

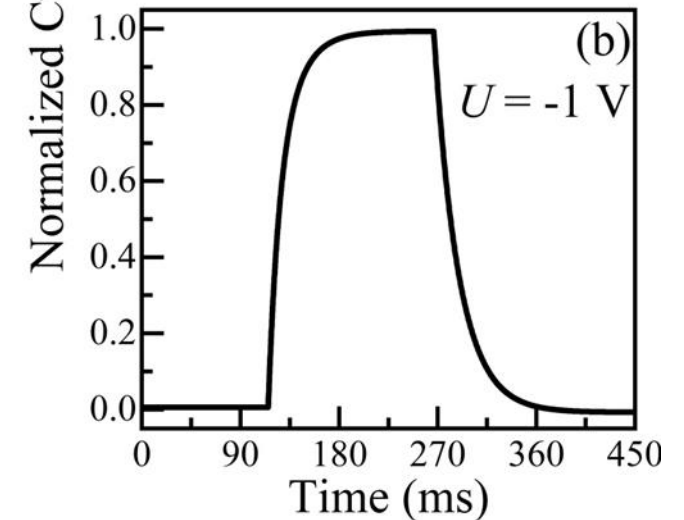
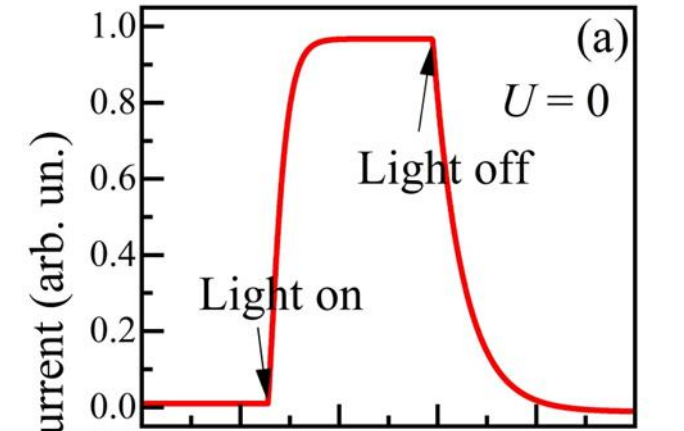
Фотоэлектрические характеристики Шоттки на основе Pt/(100)  $\beta$ -Ga<sub>2</sub>O<sub>3</sub>



ВАХ диода Pt/ $\beta$ -Ga<sub>2</sub>O<sub>3</sub>  
в темновых условиях при  
воздействии УФС излучения



Спектральные зависимости фотоэлектрических  
характеристик диодов при нулевом смещении



Временные зависимости  
полного тока диода при  
воздействии УФС  $\lambda = 250$  нм

## Сравнение фотоэлектрических характеристик диодов на основе Ga<sub>2</sub>O<sub>3</sub>

Material	Responsivity (A/W)	$\tau_r/\tau_d$ (ms)	Bias (V)	Ref.
$\beta$ -Ga <sub>2</sub> O <sub>3</sub>	$4 \times 10^{-3}$	90/410	0	A. S. Pratiyush, et al. IEEE Photonic. Tech. L. 30, 2025 (2018)
$\alpha$ -Ga <sub>2</sub> O <sub>3</sub>	1021.8	144/208	-5	X. Jiet al. J. Alloy Compd. 933, 167735 (2023)
$\beta$ -Ga <sub>2</sub> O <sub>3</sub>	2.34	$-/29.38 \times 10^3$	-10	D. H. Vieira, et al. IEEE T. Electron Dev. 67, 4947 (2020)
$\beta$ -Ga <sub>2</sub> O <sub>3</sub>	0.6	320/270	-1.2	T. Zhang, et al. Nanoscale Res. Lett. 15, 163 (2020)
$\beta$ -Ga <sub>2</sub> O <sub>3</sub>	67	970/210	-5	P. Mukhopadhyay, W. V. Schoenfeld, J.Vac.Sci.Technol.A. 38, 013403 (2020)
$\alpha$ -Ga <sub>2</sub> O <sub>3</sub>	$0.23 \times 10^{-6}$	240/-	0	S. Wang, et al. Sensor. Actuat. A-Phys. 330, 112870 (2021)
$\beta$ -Ga <sub>2</sub> O <sub>3</sub>	$3.7 \times 10^{-2}$	9/9	0	T. Oshima, et al. Jap. J. Appl. Phys. 48, 011605 (2009)
$\beta$ -Ga <sub>2</sub> O <sub>3</sub>	<b>12.3</b>	<b>14/30</b>	<b>0</b>	<b>This work</b>

$\tau_r$  - время нарастания фотоотклика;  
 $\tau_d$  - время спада фотоотклика.

Исследование газовой чувствительности различных полиморфов Ga<sub>2</sub>O<sub>3</sub>

Polymorph	Predominant mechanism of the sensory effect	T <sub>oper</sub> (°C)	Gas (the highest sensitivity)	Effective ways to modify gas sensitivity		
				Sn impurity	Si <sup>+</sup> and Fe <sup>+</sup> ion implantation	+ other metal oxide
α-Ga <sub>2</sub> O <sub>3</sub>	Modulation of potential barrier at Pt/α-Ga <sub>2</sub> O <sub>3</sub>	25–400	H <sub>2</sub>	+	+	-
β-Ga <sub>2</sub> O <sub>3</sub>	Chemisorption	250–750	H <sub>2</sub> , O <sub>2</sub> , NO <sub>2</sub> , NH <sub>3</sub> , toluene	?	+	+
	O Vacancies	25 + UV 600–900				
κ(ε)-Ga <sub>2</sub> O <sub>3</sub>	Chemisorption	25–600	H <sub>2</sub> , O <sub>2</sub> , NO <sub>2</sub> ,	+	+	+
α-/κ(ε)-Ga <sub>2</sub> O <sub>3</sub>	Chemisorption, modulation of potential barrier at Pt/α-Ga <sub>2</sub> O <sub>3</sub> and α-/κ(ε)-Ga <sub>2</sub> O <sub>3</sub>	25–250	H <sub>2</sub> , O <sub>2</sub>	+	?	-

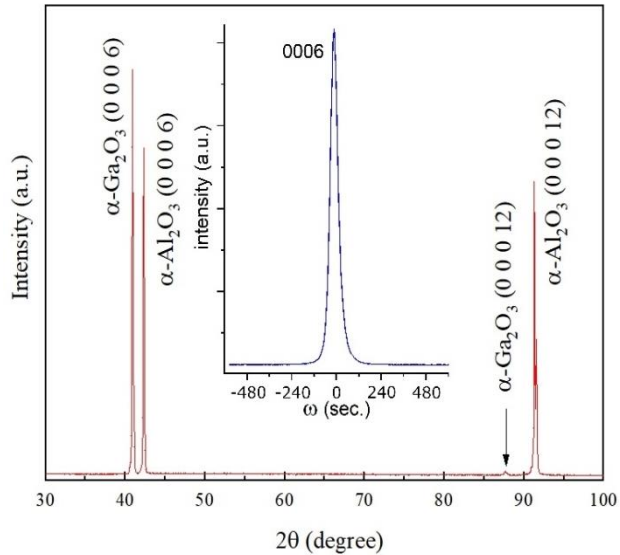
16 публикаций за 2020 – 2024 (Sensors and Actuators B: Chemical, IEEE Sensors Journal, Materials Today Communications, Superlattices and Microstructures, Physica Status Solidi (b), Journal of Vacuum Science & Technology A, ПЖТФ, ФПП).

185 ссылок.

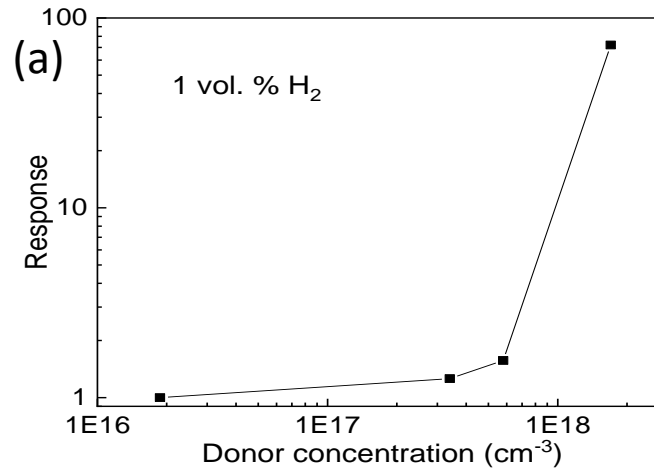
РНФ № 20-79-10043, № 20-79-10043-П, «Газовые сенсоры на основе полиморфных структур оксида галлия»

РФФИ № 18-32-00456, «Исследование газовой чувствительности оксида галлия»

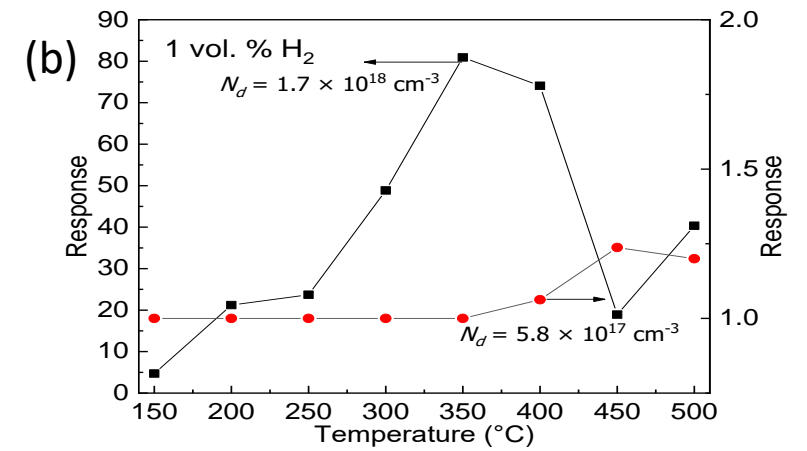
# Сенсоры водорода на основе структур Pt/ $\alpha$ -Ga<sub>2</sub>O<sub>3</sub>:Sn/Pt



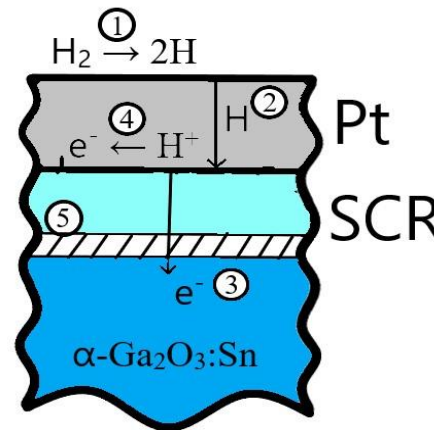
РДА спектр плёнки  $\alpha$ -Ga<sub>2</sub>O<sub>3</sub>, выращенной методом HVPE



Зависимости откликов на водород от концентрации доноров ( $N_d$ ) при  $T = 400\text{ }^\circ\text{C}$  (a) и от температуры при фиксированных  $N_d$  (b)

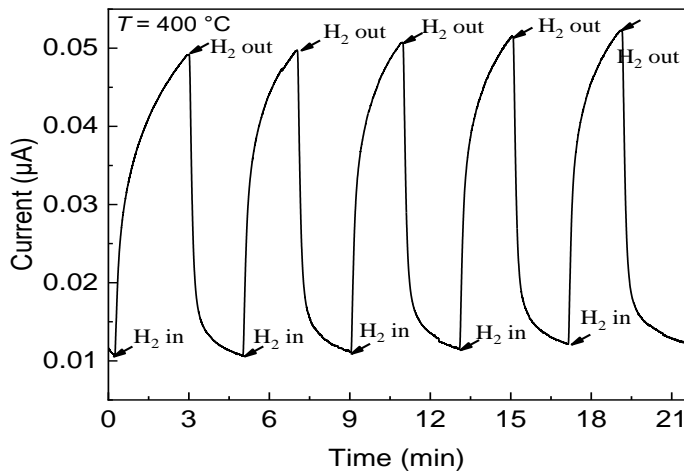


## Механизм чувствительности

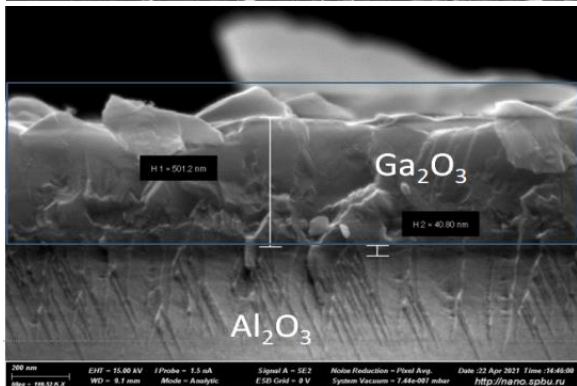
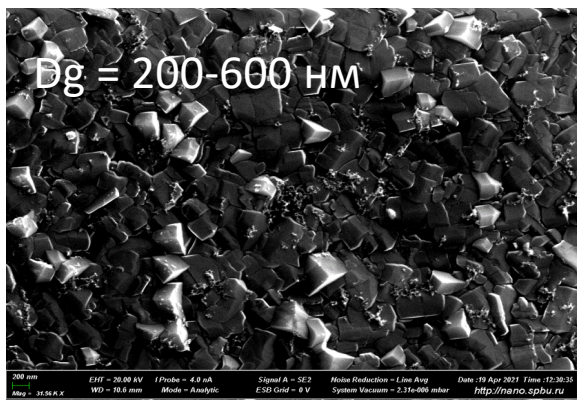


- (1) - диссоциативная адсорбция молекул H<sub>2</sub> на поверхности Pt;
- (2) - диффузия атомов H через слой Pt к гетерогранице Pt/ $\alpha$ -Ga<sub>2</sub>O<sub>3</sub>:Sn;
- (3) - формирование ионов H<sup>+</sup>;
- (4) - локализация иона H<sup>+</sup> на ПС;
- (5) - уменьшение ОПЗ.

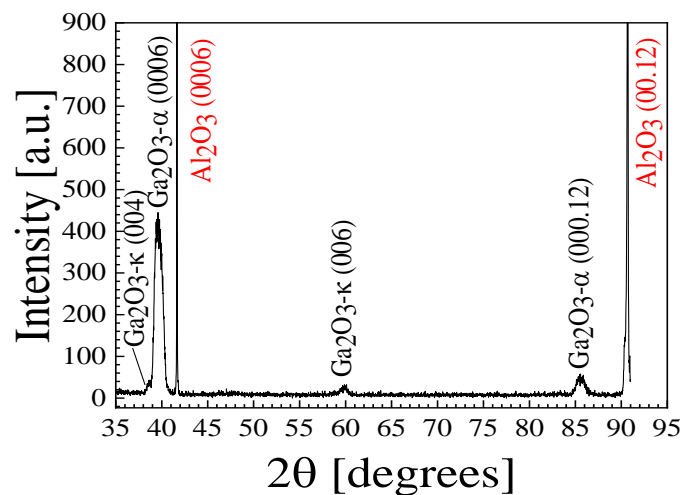
Временная зависимость силы тока при циклическом воздействии H<sub>2</sub>



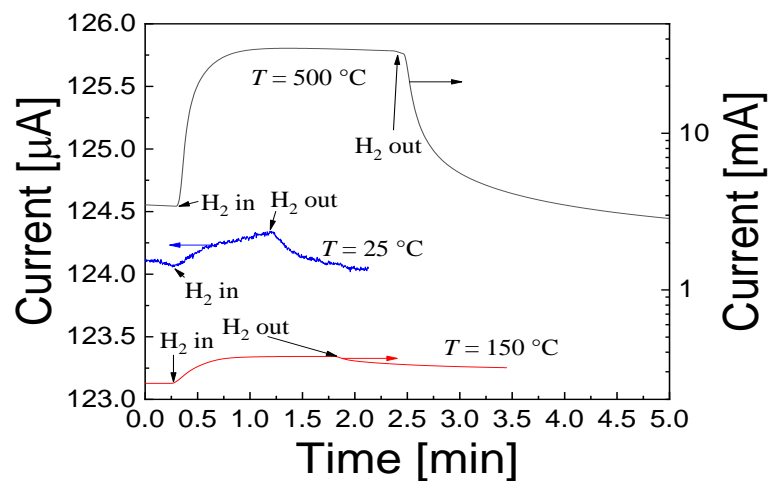
# Газовые сенсоры на основе псевдогексагональной фазы оксида галлия



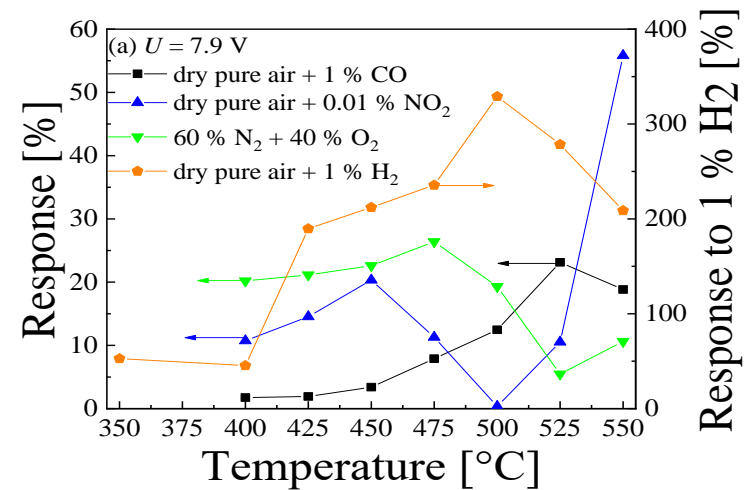
СЭМ снимки поверхности и скола ε(k)-Ga<sub>2</sub>O<sub>3</sub>



РДА спектр ε(k)-Ga<sub>2</sub>O<sub>3</sub>

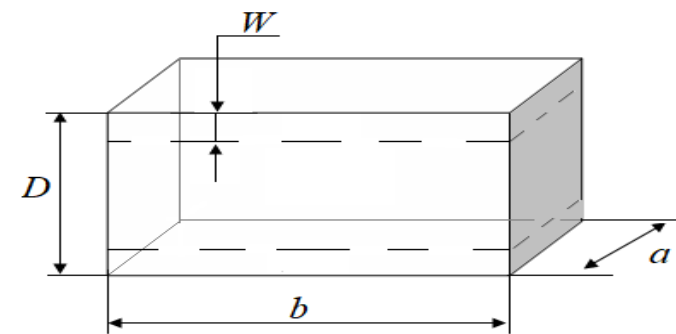


Временные зависимости силы тока плёнок ε(k)-Ga<sub>2</sub>O<sub>3</sub>:Sn при воздействии 1 % H<sub>2</sub>



Температурная зависимость откликов плёнок ε(k)-Ga<sub>2</sub>O<sub>3</sub> на разные газы

## Механизм чувствительности



$$e\phi_s \sim N_O^2$$

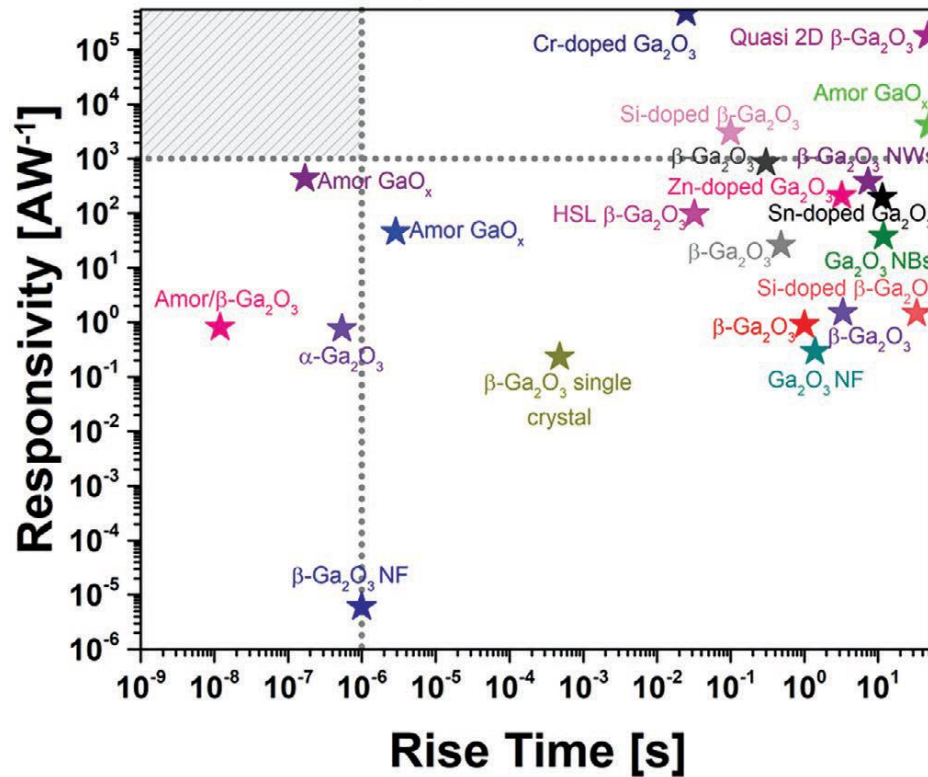
$$W = L_D [2e\phi_s / (kT)]^{0.5}$$

$$G = G_0 \times (1 - 2W/D)$$

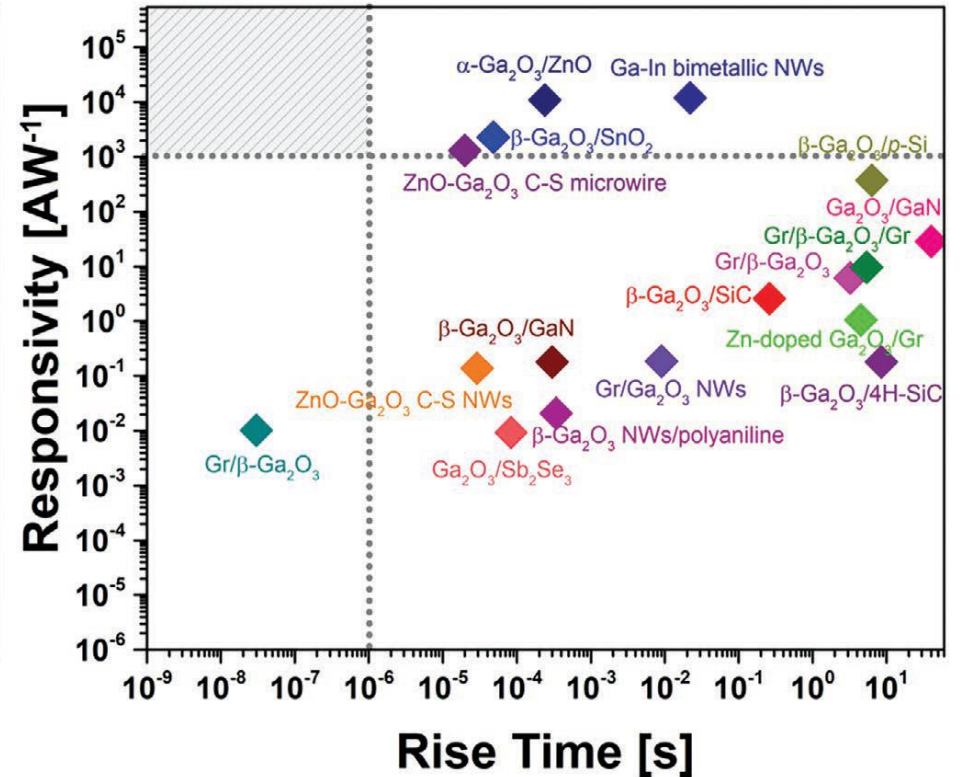
## Солнечно-слепые детекторы ультрафиолетового излучения на основе плёнок метастабильных фаз оксида галлия

- Детектирование излучения с длиной волны  $\lambda \leq 280$  нм (область UVC).
- Переходы зона-зона.

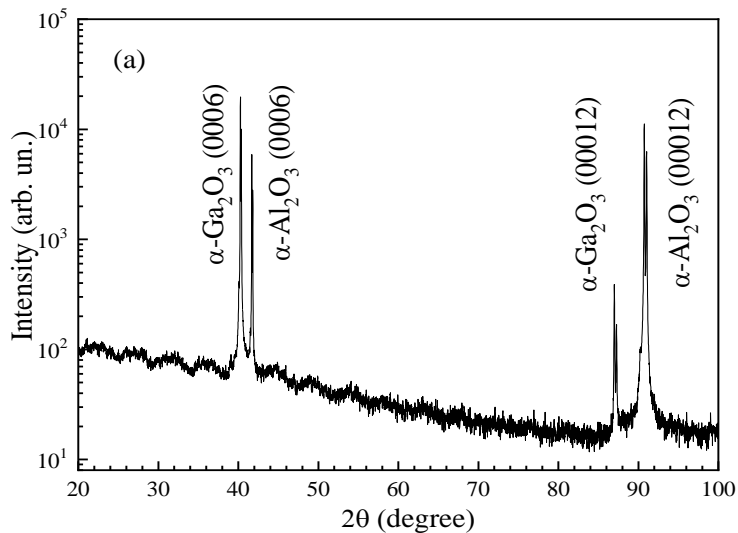
(a) **Ga<sub>2</sub>O<sub>3</sub> based SBPD**



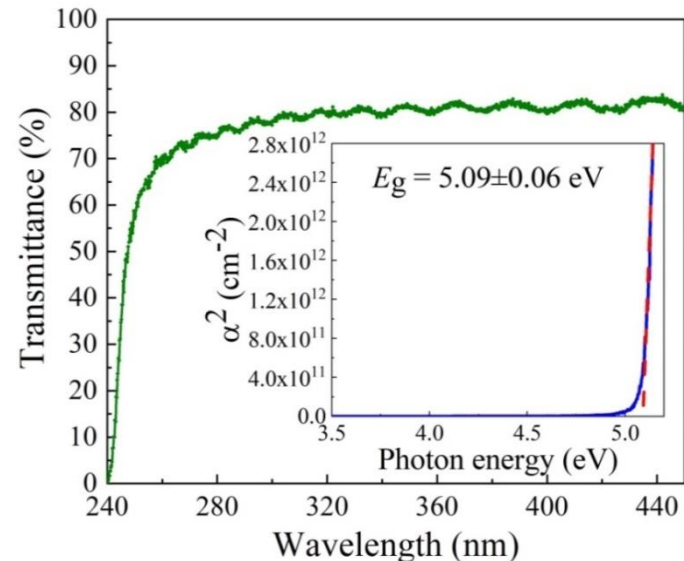
(b) **Ga<sub>2</sub>O<sub>3</sub> Heterostructures based SBPD**



# Солнечно-слепые детекторы ультрафиолета на основе HVPE плёнок $\alpha\text{-Ga}_2\text{O}_3$ с гигантской чувствительностью

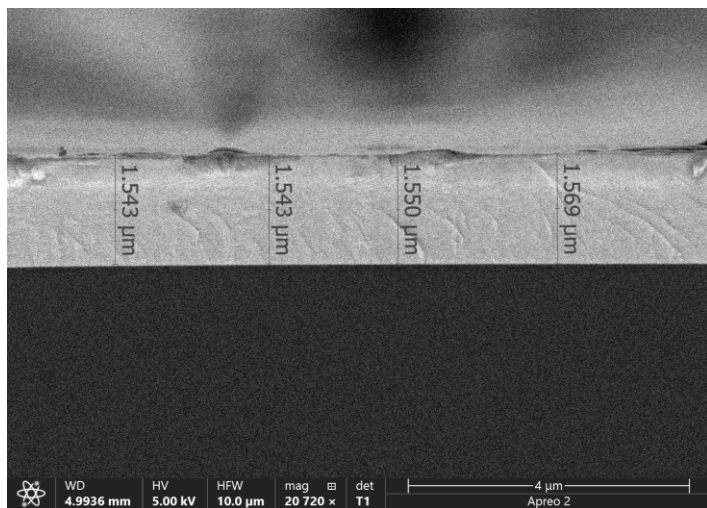


РДА спектр плёнки  $\alpha\text{-Ga}_2\text{O}_3$ , выращенной методом HVPE

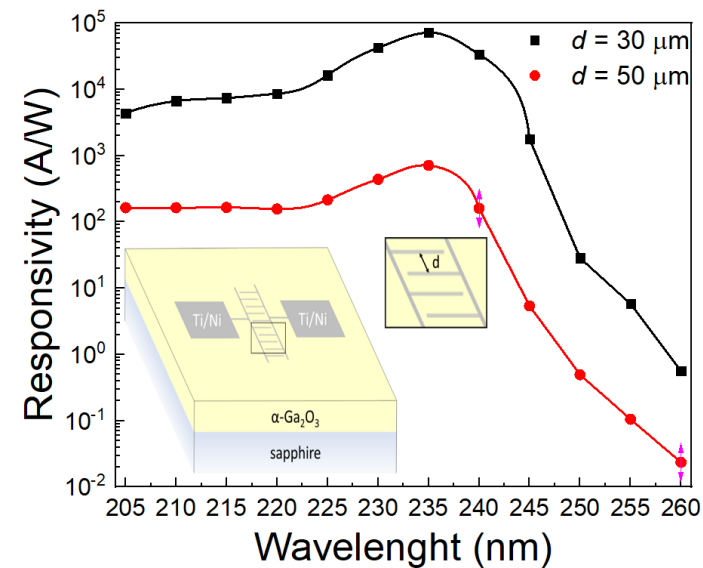


Спектр пропускания плёнок

СЭМ снимок скола плёнок



Спектр токовой чувствительности плёнок



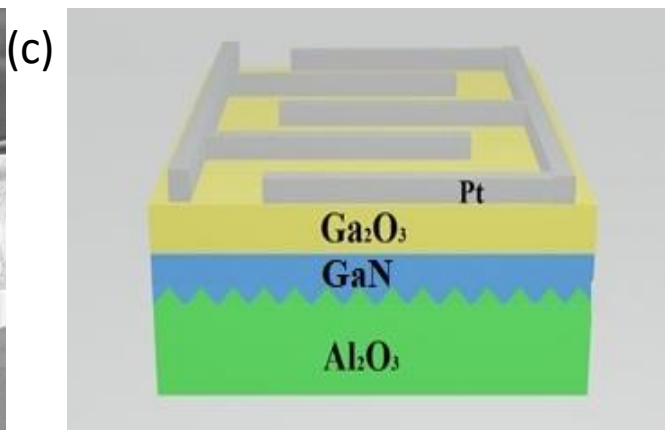
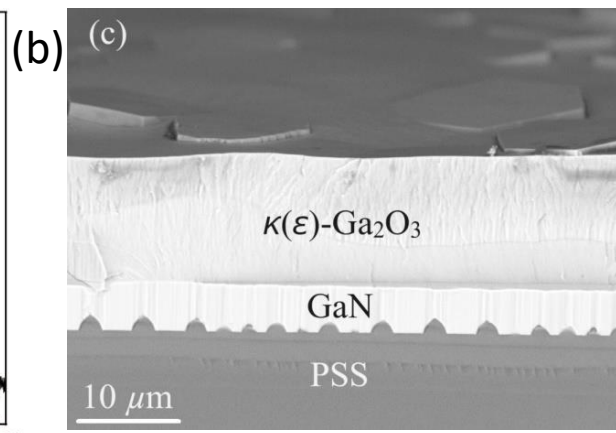
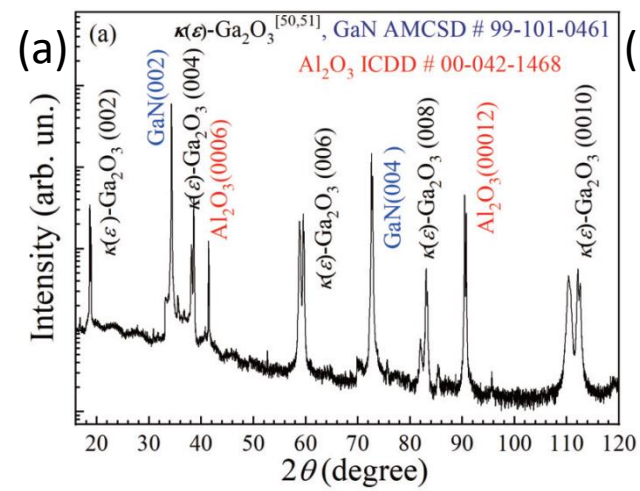
Сравнение фотоэлектрических характеристик детекторов на основе альфа фазы  
оксида галлия и коммерческих образцов

Material	Producer	Type	$I_D$ (nA)	$\lambda$ (nm)	R (A/W)	$\Delta\lambda$ (nm)
$\alpha$ -Ga <sub>2</sub> O <sub>3</sub>	Our (30 $\mu$ m)	MSM	$10^{-2}$ (10 V)	235	$\sim 7 \times 10^4$	190–260
Si	MarkTech	PN	0.2 (5 V)	250	0.1	250–1000
Si	Hamamatsu	APD	0.1 (1 V)	250	$\sim 8$	200–1000
Si	Laser Components	APD	0.2	260	20–60	260–1000
Si	OSI	PN	-	254	0.09–0.14	200–1100
Si	Optodiode	PN	1 (6 V)	254	0.08–0.09	200–1100
Si	Thorlabs	PN	0.3–1	280	0.05	200–1100
Si	Edmund	PN	0.3–1	200	0.12	200–1100
Si	Lasermate	PIN	$10^{-3}$ – $10^{-2}$	218	0.08	200–1100
Si	ACIA Politekhnik	PN	$\leq 0.2$ (0.01 V)	235	0.1061	190–1180
SiC	Roithner LaserTechnik	PN	$10^{-6}$ (1 V)	268–290	0.01–0.1	210–380
SiC	Boston electronics	PN	$10^{-6}$ (1 V)	275–280	0.1	200–400
SiC	Electro Optical Components	PN	$10^{-5}$ (1 V)	265	0.13	210–380
SiC	MarkTech	PN	$10^{-6}$ (1 V)	265	0.18	200–360
AlGaN	Roithner LaserTechnik	SBD	1 (0.1 V)	254	0.07	220–280
AlGaN	Electro Optical Components	SBD	1 (0.1 V)	254	0.06	210–280

MSM – металл/полупроводник/металл (фоторезистор); PN – PN фотодиод; APD – лавинный фотодиод; PIN – PIN диод; SBD – диод Шоттки.  $I_D$  - темновой ток; R - токовая чувствительность;  $\Delta\lambda$  - диапазон длин волн.

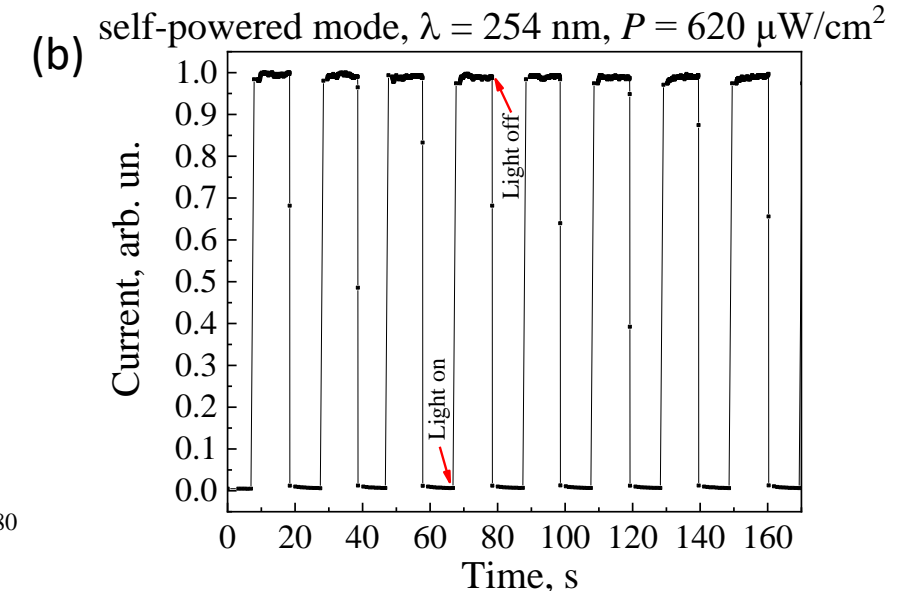
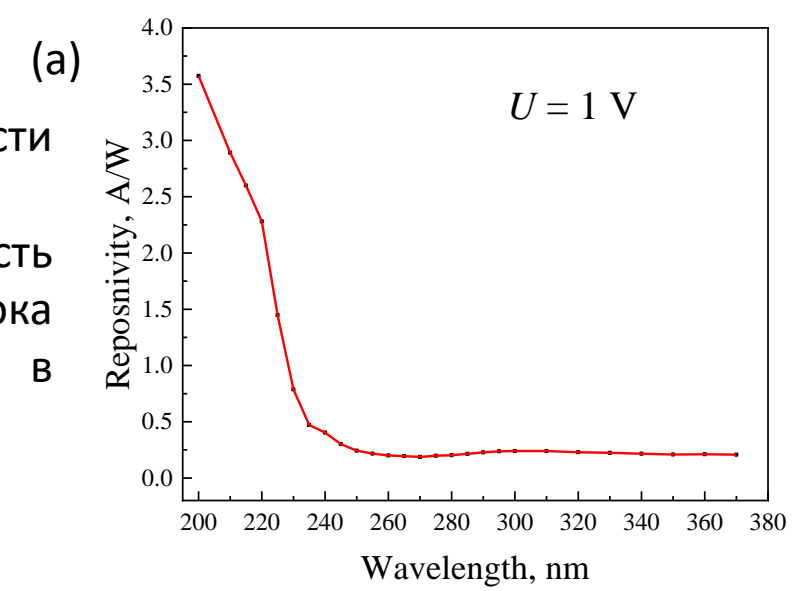
Almaev A., Nikolaev V., Kopyev V., Shapenkov S., Yakovlev N., Kushnarev B., Pechnikov A., Deng J., Izaak T., Chikiryaka A., Scheglov M., Zarichny A. Solar-blind ultraviolet detectors based on high-quality HVPE  $\alpha$ -Ga<sub>2</sub>O<sub>3</sub> films with giant responsivity // IEEE Sensors Journal. 2023. V. 23, No 17. P. 19245-19255. 10.1109/JSEN.2023.3297127

# Быстродействующие автономные детекторы коротковолнового ультрафиолетового излучения на основе плёнок $\kappa(\epsilon)$ -Ga<sub>2</sub>O<sub>3</sub>



(a) РДА спектр плёнок,  
(b) СЭМ скола структуры,  
(c) конструкция детектора

(a) Спектр токовой чувствительности при смещении 1 В,  
(b) Временная зависимость нормализованного полного тока при воздействии УФ излучения в фотовольтаическом режиме



Сравнение фотоэлектрических характеристик детекторов на основе оксида галлия при воздействии излучения с  $\lambda = 254$  нм в фотовольтаическом режиме

Materials	Structure	Responsivity, mA/W	Rise time, ms	Decay time, ms	References
$\epsilon$ -Ga <sub>2</sub> O <sub>3</sub> /GaN	Heterojunction	43.9 @ 0 V	120	440	Chen T.W. et al, Adv Photonics Res, <b>2021</b> , 2(8), 2100049
Pt/a-Ga <sub>2</sub> O <sub>3</sub> /ITO	Schottky	3690 @ 0 V	27	11	Ye L.Y. et al, Opt Express, <b>2023</b> , 31, 28200
Pt/ $\kappa(\epsilon)$ -Ga <sub>2</sub> O <sub>3</sub> /Pt	<b>MSM</b>	<b>0.9 @ 0 V</b>	<b>&lt; 100</b>	<b>&lt; 100</b>	<b>OUR</b>
Au/ $\beta$ -Ga <sub>2</sub> O <sub>3</sub> Nanowires	Schottky	0.01 @ 0 V	$1 \times 10^{-3}$	$6 \times 10^{-2}$	Chen X. et al, ACS Appl Mater Interfaces, <b>2016</b> , 8, 4185
NiO/a-Ga <sub>2</sub> O <sub>3</sub>	Heterojunction	0.147 @ 0 V	200	2510	Wang Y.C. et al, ACS Appl Electron Mater, <b>2020</b> , 2, 2032
$\beta$ -Ga <sub>2</sub> O <sub>3</sub> /CuGaO <sub>2</sub>	Heterojunction	0.025 @ 0 V	260	140	Wu C. et al, Mater Today Phys, <b>2021</b> , 17, 100335
$\beta$ -Ga <sub>2</sub> O <sub>3</sub> /GaN	Heterojunction	28.4 @ 0 V	140	70	Li P.G. et al, J Mater Chem C, <b>2017</b> , 5, 10562
Pt/Sn <sub>x</sub> Ga <sub>1-x</sub> O/ Pt	MSM	6.9 @ 2 V	60	180	Mondal A. et al, Nanotechnology, <b>2020</b> , 31, 294002
Pt/Au/ $\beta$ -Ga <sub>2</sub> O <sub>3</sub> / Pt/Au	MSM	$11.6 \times 10^{-3}$ @ 0 V	1780	2090	Tak B.R. et al, Sci Rep, <b>2020</b> , 10, 16098
CuO/ $\beta$ -Ga <sub>2</sub> O <sub>3</sub>	Heterojunction	30.3 @ 0 V	12	14	Park S. et al, Nanomaterials, <b>2023</b> , 13, 954

## Вместо заключения

Цикл работ показывает перспективность данного материала для многих направлений электроники. В ближайшие 10-20 лет приборы на основе  $\text{Ga}_2\text{O}_3$  могут заменить или составить конкуренцию приборам на основе традиционных полупроводников. На данном этапе, исследования ведутся широким фронтом для выявления главного направления работ. Стоит отметить, что результаты исследований, представленные в указанных работах, получены для плёнок и пластин  $\text{Ga}_2\text{O}_3$ , выращенных в России.

# СПАСИБО ЗА ВНИМАНИЕ

Алексей Викторович Алмаев,  
Канд. физ.-мат. наук,  
зав. лаборатории металлооксидных полупроводников  
Центра исследований и разработок  
«Перспективные технологии в микроэлектронике» НИТГУ  
[almaev\\_alex@mail.ru](mailto:almaev_alex@mail.ru)